

МОСКОВСКИЙ ФИЗИКО-ТЕХНИЧЕСКИЙ ИНСТИТУТ  
(НАЦИОНАЛЬНЫЙ ИССЛЕДОВАТЕЛЬСКИЙ УНИВЕРСИТЕТ)

Физтех-школа биологической и медицинской физики



## Лабораторная работа 1.3

Изучение рассеяния медленных электронов на  
атомах (эффект Рамзауэра)

Авторы:  
Ирина Веретененко  
Б06-804

# 1 Введение

## Цели работы:

- исследовать энергетическую зависимость вероятности рассеяния электронов атомами ксенона;
- определить энергию электронов, при которых наблюдается "просветление" ксенона;
- оценить размер внешней электронной оболочки ксенона.

**В работе используются:** титратрон ТГЗ-01/1.3Б, заполненный инертным газом, блок источников питания, электронный осциллограф С1-83, вольтметры В7-22А (В7-58)

## 1.1 Теория

- Вероятность  $dw(\vec{r}, t)$  обнаружить частицу в какой-то области пространства  $dV$  в момент времени  $t$  описывается в квантовой физике квадратом модуля комплекснозначной волновой функции  $\Psi(\vec{r}, t)$

$$dw(\vec{r}, t) = |\Psi(\vec{r}, t)|^2 dV$$

- Волновая функция частицы в общем случае является решением нестационарного уравнения Шредингера

$$i\hbar \frac{\partial \Psi(\vec{r}, t)}{\partial t} = \hat{H} \Psi(\vec{r}, t), \quad \hat{H} = -\frac{\hbar^2}{2m} \Delta + U(\vec{r}, t) \text{ - Гамильтониан}$$

$$\Psi(\vec{r}, t) = e^{-\frac{i}{\hbar} E t} \psi(\vec{r})$$

где  $\psi(\vec{r})$  - не зависящая от времени волновая функция стационарного состояния (состояния с определённой энергией  $E$ ), описываемого стационарным уравнением Шредингера

$$-\frac{\hbar^2}{2m} \Delta \psi + U(\vec{r}) \psi = E \psi$$

Далее рассматриваем стационарные состояния.

- Требования к волновой функции:

- непрерывность
- гладкость
- однозначность
- конечность
- нормировка  $\int \psi^* \psi dV = 1$

- Введем понятие вектора плотности потока вероятности.

Вероятность, что за секунду частица покинет объем  $V$

$$\frac{\partial}{\partial t} \int_V |\psi|^2 dV = \int_V (\psi^* \frac{\partial \psi}{\partial t} + \psi \frac{\partial \psi^*}{\partial t}) dV =$$

С учетом уравнения Шредингера

$$= \int \frac{i\hbar}{2m} (\psi^* \Delta \psi - \psi \Delta \psi^*) dV = \int \frac{i\hbar}{2m} \text{div}(\psi \vec{\nabla} \psi^* - \psi^* \vec{\nabla} \psi) dV$$

Тогда  $\vec{j} = \frac{i\hbar}{2m} (\psi \vec{\nabla} \psi^* - \psi^* \vec{\nabla} \psi)$  - плотность потока вероятности (откуда записывается уравнение непрерывности  $\frac{\partial}{\partial t} |\psi|^2 + \text{div} \vec{j} = 0$ )

Для свободной частицы, описываемой волной де-Бройля  $\psi = C e^{i\vec{k}\vec{r}} \Rightarrow \vec{j} = \frac{\hbar \vec{k}}{m} |\psi|^2 = \vec{v}$ , где  $\vec{v} = \frac{dw}{dV}$  - плотность вероятности обнаружить частицу,  $\vec{v}$  - ее скорость

- Рассмотрим задачу о частице с энергией  $E$ , налетающей из  $-\infty$  на одномерную потенциальную яму глубиной  $U_0$  и шириной  $l$  (такой моделью описывают, например, электроны, налетающие на атом радиуса  $l$ )

$$U(x) = \begin{cases} 0, & x < 0 \\ -U_0, & 0 < x < l \\ 0, & x > l \end{cases}$$

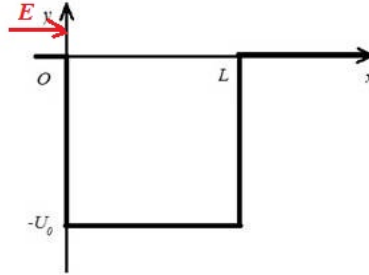


Рис. 1: Вид одномерной потенциальной ямы конечной глубины

Одномерное уравнение Шредингера

$$-\frac{\hbar^2}{2m}\psi'' + (U - E)\psi = 0$$

Пусть  $k_1^2 = \frac{2mE}{\hbar^2}$ ,  $k_2^2 = \frac{2m(E+U_0)}{\hbar^2}$ . Тогда

$$\begin{cases} \psi'' + k_1^2\psi = 0, & x < 0 \\ \psi'' + k_2^2\psi = 0, & 0 < x < l \\ \psi'' + k_1^2\psi = 0, & x > l \end{cases}$$

$$\begin{cases} \psi_1 = e^{ik_1x} + re^{-ik_1x}, & x < 0 \\ \psi_2 = C_1e^{ik_2x} + C_2e^{-ik_2x}, & 0 < x < l \\ \psi_3 = de^{ik_1x}, & x > l \end{cases}$$

$r$  играет роль коэффициента отражения по амплитуде,  $d$  - коэффициента прохождения волны через барьер по амплитуде (это комплексные числа).

Сшивки: воспользуемся требованиями непрерывности и гладкости при  $x = 0$  и  $x = l$ :

$$\begin{cases} 1 + r = C_1 + C_2 \\ k_1(1 - r) = k_2(C_1 - C_2) \\ C_1e^{ik_2l} + C_2e^{-ik_2l} = de^{ik_1l} \\ k_2(C_1e^{ik_2l} - C_2e^{-ik_2l}) = k_1de^{ik_1l} \end{cases}$$

Из системы путем алгебраических преобразований можно получить:

$$d = \frac{4k_1k_2e^{-ik_1l}}{(k_1 + k_2)^2 e^{-ik_2l} - (k_1 - k_2)^2 e^{ik_2l}}$$

Коэффициент прозрачности ямы - это отношение потоков вероятности прошедшей и падающей волн (соотв. частицам). Именно его, а не амплитудный коэффициент прохождения, можно измерить в эксперименте. Пользуясь определением плотности потока вероятности получим:

$$D = \frac{j_{\text{прош}}}{j_{\text{пад}}} = \frac{\frac{i\hbar}{2m}(\psi_3(\psi_3^*)' - \psi_3^*(\psi_3)')}{\frac{i\hbar}{2m}(\psi_1(\psi_1^*)' - \psi_1^*(\psi_1)')} = |d|^2 = dd^* =$$

$$= \frac{16k_1^2 k_2^2}{(k_1 + k_2)^4 + (k_1 - k_2)^4 - (k_1 + k_2)^2 (k_1 - k_2)^2 (e^{2ik_2 l} + e^{-2ik_2 l})}$$

После арифметических преобразований и использования формулы косинуса двойного угла получим:

$$D = \frac{16k_1^2 k_2^2}{16k_1^2 k_2^2 + 4(k_1^2 - k_2^2)^2 \sin^2(k_2 l)} = \frac{1}{1 + \frac{1}{4} \left( \frac{k_1}{k_2} - \frac{k_2}{k_1} \right)^2 \sin^2(k_2 l)} \quad (1)$$

- Эффект Рамзауэра - изменение эффективного сечения рассеяния электрона на атомах при различных энергиях электронов. Если рассматривать атом как одномерную потенциальную яму конечной глубины, то данный эффект объясняется изменением коэффициента прозрачности в зависимости от энергии налетающего электрона согласно формуле (1) В данной работе будем изучать зависимость  $D(E)$  для нахождения радиуса атома и глубины потенциальной ямы согласно (1)

## 1.2 Экспериментальная установка и методика измерения

- В данной работе для изучения эффекта Рамзауэра используется тиратрон ТГЗ-01/1.3Б, заполненный инертным газом (рис. 2) Электроны, эмитируемые катодом тиратрона, ускоряются напряжением  $V$ , приложенным между катодом и ближайшей к нему сеткой. Затем электроны рассеиваются на атомах инертного газа. Все сетки 1, 2, 3 соединены между собой и имеют одинаковый потенциал, примерно равный потенциалу анода 6. Поэтому между первой сеткой 1 и анодом практически нет поля. Рассеянные электроны отклоняются в сторону и уходят на сетку, а оставшаяся часть электронов достигает анода и создаёт анодный ток  $I_a$

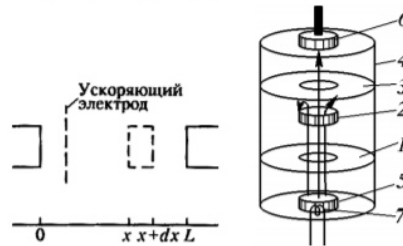


Рис. 6. Схема тиратрона (слева) и его конструкция (справа): 1, 2, 3 — сетки, 4 — внешний металлический цилиндр, 5 — катод, 6 — анод, 7 — накаливаемая спираль

Рис. 2: Тиратрон

Таким образом, поток электронов  $N(x)$  на расстоянии  $x$  от ускоряющей сетки (т.е. число электронов, проходящих через поперечное сечение лампы в точке  $x$  в единицу времени) уменьшается с ростом  $x$  от начального значения  $N_0$  у катода (в точке  $x = 0$ ) до некоторого значения  $N_a$  у анода (в точке  $x = L$ ).

- Реальная ВАХ тиратрона.  
Выделим в газе на расстоянии  $x$  тонкий слой с площадью поперечного сечения  $S$  и толщиной  $dx$ . Этот слой содержит  $\nu = n_a S dx$  атомов газа ( $n_a$  — концентрация атомов газа в лампе). Суммарная рассеивающая поверхность этих атомов  $\Delta = \nu \Delta_a$ , где  $\Delta_a$  — площадь поперечного сечения атома.  
Пусть  $dN$  убыль потока электронов в результате прохождения слоя  $dx$ ; тогда  $dN/N(x)$  есть доля электронов, которые рассеялись, или вероятность рассеяния в слое.

Для рассеяния электрона в слое необходимо выполнение двух независимых событий - электрон должен 'наткнуться' в слое на атом, и, кроме того, он должен на этом атоме рассеяться. Следовательно, вероятность  $dN/N(x)$  рассеяния электрона в слое равна произведению двух вероятностей вероятности для электрона в слое  $dx$  встретить атом газа (она равна  $\Delta/S$  - доли площади поперечного сечения слоя, перекрываемого атомами) и вероятности рассеяния на атоме  $w(V)$  :

$$-\frac{dN}{N(x)} = \frac{\Delta}{S} w(V) = n_a \Delta_a w(V) dx$$

Интегрируя это соотношение от 0 до  $L$  и заменяя поток электронов на ток  $I = Ne$ , получаем уравнение ВАХ:

$$I_a = I_0 e^{-Cw(V)}, \quad C = Ln_a \Delta_a$$

где  $I_0 = eN_0$  - ток катода,  $I_a = eN_a$  - анодный ток.

Значит, по измеренной ВАХ тиратрона можно определить зависимость вероятности рассеяния электрона от его энергии из соотношения:

$$w(V) = -\frac{1}{C} \ln \frac{I_a(V)}{I_0} \quad (2)$$

• Схема экспериментальной установки:

- Лампа - тиратрон ТГЗ-01/1.3Б, на которую подается синусоидальное напряжение частоты 50 Гц от источника питания ИП, заполненная инертным газом, расположена непосредственно на корпусе блока источников питания (БИП).
- Регулировка напряжения и выбор режима работы установки производятся при помощи ручек управления на лицевой панели БИП.
- Исследуемый сигнал подаётся на электронный осциллограф (ЭО), на котором реально удаётся надёжно наблюдать лишь один минимум в сечении рассеяния электронов и следующий за ним максимум (при больших  $n$  напряжённость достаточно велика для пробоя тиратрона, кроме того, эффект 'просветления' в результате уменьшения глубины минимума резко уменьшается).

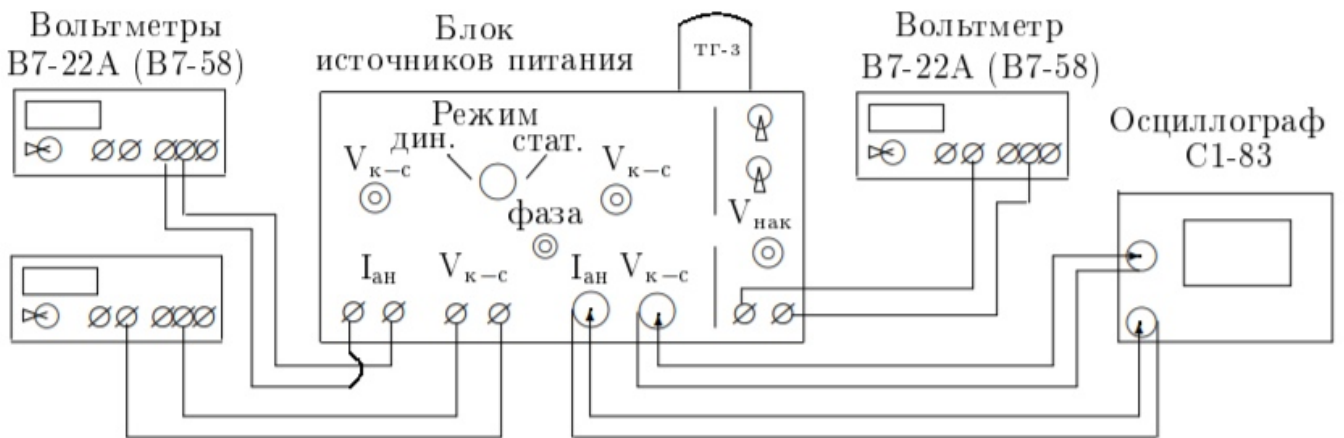


Рис. 3: Экспериментальная установка

## 2 Результаты эксперимента и обработка данных

### 2.1 Измерения в динамическом режиме

- Получим на экране осциллографа ВАХ тиратрона при двух различных напряжениях накала на лампе ( $V = 0$  находится в  $V = +4$  клетки на осциллограммах). ВАХ тиратрона показывает зависимость  $V_{\text{анода}} (\sim I_{\text{анода}} \sim D)$  от  $V_{\text{катод-сетка}} (= E/e)$ , то есть с точностью до констант он показывает зависимость  $D(E)$ .

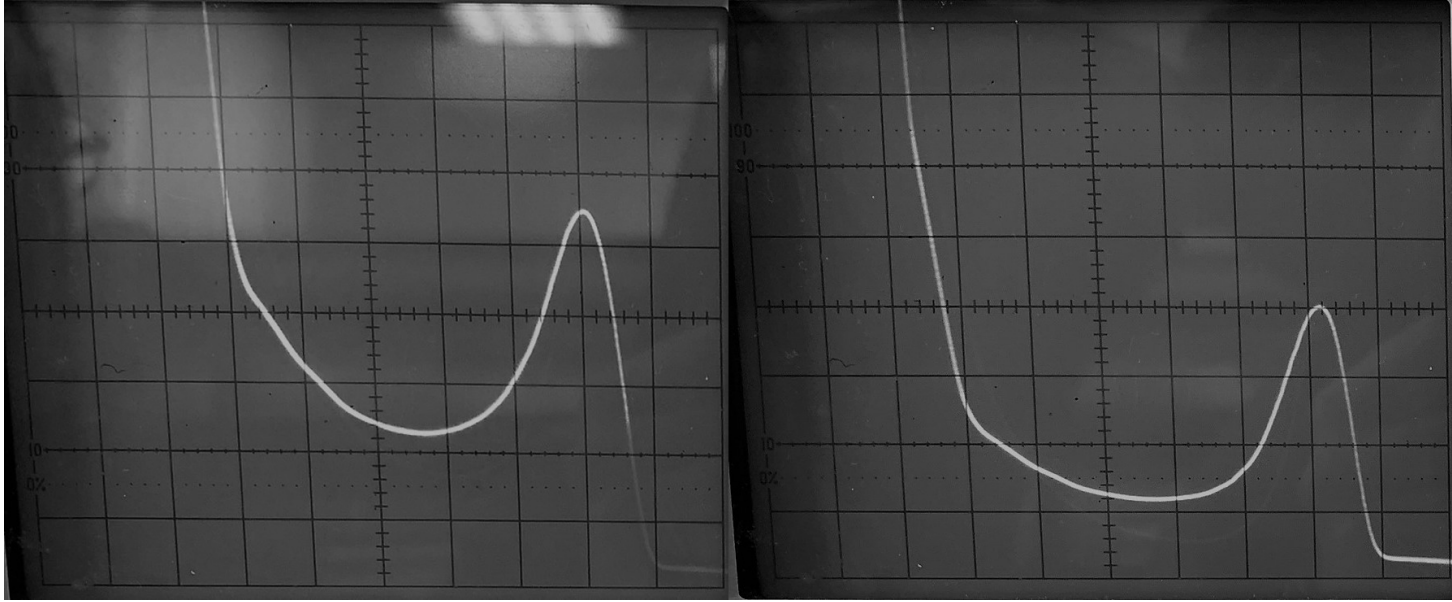


Рис. 4: ВАХ тиратрона при  $V_{\text{накала}} = 2.918\text{В}$  (левое фото) и  $V_{\text{накала}} = 2.706\text{В}$  (правое фото)  
Цена деления по горизонтальной оси  $2\text{В}/\text{дел}$ , по вертикальной -  $50\text{мВ}/\text{дел}$

Видно, что при большем  $V_{\text{накала}}$  график съезжает вверх, а максимумы/минимумы остаются на своем месте. Так происходит потому, что условие на максимумы и минимумы определяются из формулы 1 и не зависит от  $V_{\text{накала}}$ . От  $V_{\text{накала}}$  зависит изначальное число электронов в лампе (чем больше  $V_{\text{накала}}$ , тем больше электронов эмитируется из катода и тем больше будет  $I_{\text{анода}}$ ). То есть распределение вероятности прохождения не изменяется, а анодный ток увеличится на некоторую константу.

- По полученным осциллограммам оценим глубину потенциальной ямы. Из формулы 1:

$$D_{\text{max}} = 1 : \sin(k_2 l) = 0 \Rightarrow k_2 l = \frac{\sqrt{2m(E_{\text{max}} + U_0)}}{\hbar} l = \pi n \quad (3)$$

$$D_{\text{min}} : \sin(k_2 l) = \pm 1 \Rightarrow k_2 l = \frac{\sqrt{2m(E_{\text{min}} + U_0)}}{\hbar} l = \frac{\pi}{2} + \pi n \quad (4)$$

Разделив уравнения друг на друга получим:

$$\frac{E_{\text{min}} + U_0}{E_{\text{max}} + U_0} = \left(1 + \frac{1}{2n}\right)^2$$

С учетом  $n = 1$  ( $n = 2$  уже не наблюдается из-за ионизации атомов и пробоя тиратрона - на осциллограммах видим разное возрастание тока):

$$U_0 = \frac{4}{5}E_{\text{min}} - \frac{9}{5}E_{\text{max}}$$

$$\sigma U_0 = \sqrt{\left(\frac{4}{5}\right)^2 \sigma^2 E_{\text{min}} + \left(\frac{9}{5}\right)^2 \sigma^2 E_{\text{max}}}$$

Замечание: кинетическая энергия налетающего на атомы электрона  $E = eV$ , где  $V$  - ускоряющее напряжение катод-сетка. Обозначим  $U_0 = eV_0$  и будем искать глубину потенциальной ямы  $V_0$  в Вольтах

Из осциллограммы 1 (погрешность - половина цены деления).

$$V_{max1} = (0.9 \pm 0.1) \text{дел} \cdot 2\text{В/дел} = (1.8 \pm 0.2)B, V_{min1} = (3.4 \pm 0.1) \text{дел} \cdot 2\text{В/дел} = (6.8 \pm 0.2)B$$

$$V_{01} = (2.2 \pm 0.4)B$$

Из осциллограммы 2

$$V_{max2} = (0.8 \pm 0.1) \text{дел} \cdot 2\text{В/дел} = (1.6 \pm 0.2)B, V_{min2} = (3.4 \pm 0.1) \text{дел} \cdot 2\text{В/дел} = (6.8 \pm 0.2)B$$

$$V_{02} = (2.6 \pm 0.4)B$$

$$\bar{V}_0 = \frac{V_{01} + V_{02}}{2}, \sigma^2 \bar{V}_0 = ((V_{01} - \bar{V}_0)^2 + (V_{02} - \bar{V}_0)^2) + \frac{\sigma^2 V_{01}}{2} \Rightarrow \boxed{\bar{V}_0 = (2.4 \pm 0.4)B}$$

Полученное значение согласуется с приведенным в "Лабораторным практикумом по общей физике" значением  $V_{0\text{теор}} = 2.5B$

- Из осциллограммы напряжение пробоя  $\boxed{V_{\text{пробоя}} = (6.0 \pm 0.1) \text{дел} = (12 \pm 0.2)B}$ , откуда можно предположить, что инертный газ в лампе - ксенон (его потенциал ионизации - 12.1 эВ)
- Рассчитаем радиус атома инертного газа (ксенона)  $R_1$  по формуле 3:

$$k_2 \cdot 2R = \frac{\sqrt{2m(E_{max} + U_0)}}{\hbar} = \pi$$

$$R = \frac{\pi \hbar}{2\sqrt{2me(V_{max} + V_0)}}, \sigma^2 R = \left(\frac{dR}{dV_{max}}\right)^2 \sigma^2 V_{max} + \left(\frac{dR}{dV_0}\right)^2 \sigma^2 V_0 \Rightarrow \sigma R = R \frac{3\sqrt{\sigma^2 V_{max} + \sigma^2 V_0}}{2(V_{max} + V_0)}$$

$$m = 9.1 \cdot 10^{-31} \text{кг}, e = 1.6 \cdot 10^{-19} \text{Кл}, \hbar = 1.054 \cdot 10^{-34} \text{Дж с}$$

$$\boxed{R_1 = (1.5 \pm 0.3)A}$$

- Оценим радиус атома ксенона  $R_2$  с учетом формул 3 и 4 при  $n = 1$ : Из 4 выразим  $U_0$  и подставим в 3. Получим:

$$R = \frac{\sqrt{5}\hbar}{2\sqrt{32me(V_{min} - V_{max})}}, \sigma R = R \frac{3\sigma(V_{min} - V_{max})}{4(V_{min} - V_{max})} = R \frac{3\sqrt{2}\sigma V}{4(V_{min} - V_{max})}$$

$$\hbar = 6.626 \cdot 10^{-34} \text{Дж с}$$

$$\boxed{R_2 = (1.4 \pm 0.1)A}$$

- Обсудим полученные результаты. Размеры атома ксенона, рассчитанные по двум формулам, совпадают в пределах погрешности.  $R_2$  точнее, так как она не учитывает погрешность нахождения потенциальной ямы, а использует погрешности прямых измерений. Теоретическое значение радиуса атома ксенона: 1.1 А, что близко к полученным значениям. Расчетные значения - эффективные размеры потенциальной ямы, с которой взаимодействовали электроны в тиратроне (модельное приближение), и эти размеры могут быть чуть больше радиуса внешней электронной оболочки атома ксенона.

## 2.2 Измерения в статическом режиме

- Будем снимать ВАХ тиратрона, фиксируя  $V_{\text{анод}}$  в зависимости от  $V_{\text{катод-сетка}}$  при двух значениях  $V_{\text{накала}}$ . Анодный ток  $I_a = \frac{U_{\text{анода}}}{100\text{кОм}} = U_{\text{анода}} \cdot 10^{-8} \text{ A}$

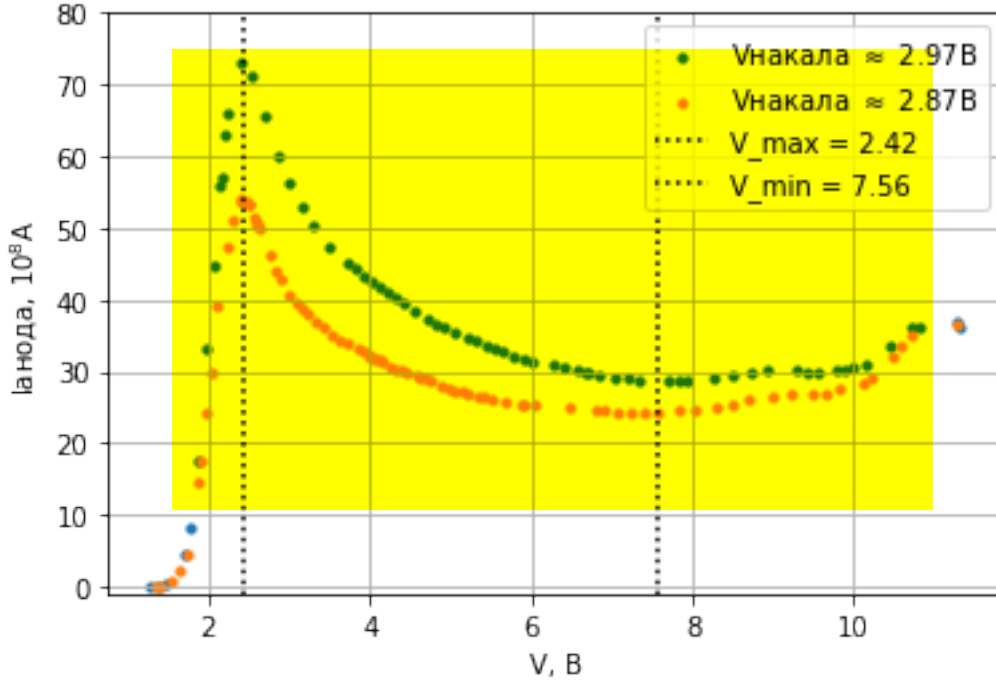


Рис. 5: ВАХ тиратрона в статическом режиме

Аналогично расчетам, проведенным при обработке результатов эксперимента в динамическом режиме получим (все формулы аналогичны динамическому режиму с заменой погрешности, связанной с ценой деления экрана осциллографа на погрешность измерения напряжений вольтметром  $= 0.01B$ , так как последний знак при измерениях "скакал"):

$$V_0 = (1.7 \pm 0.2)$$

$$R = (1.51 \pm 0.06) A$$

Видно, что относительно измерений в динамическом режиме ВАХ сдвинулся по оси  $V$ . Но т.к. для нахождения  $R$  важна только разность  $V_{\text{max}} - V_{\text{min}}$ , то радиус атома ксенона вышел аналогичным предыдущим результатам. Глубина потенциальной ямы в статическом и динамическом режиме различаются. Это произошло потому, что в формуле для расчета глубины ямы присутствует не только разность напряжений, но и их абсолютные значения. С учетом того, что результат в динамическом режиме лучше сходится с теоретическим значением, можно предположить, что в статическом режиме мы измеряли не только ускоряющее напряжение, но и контактную разность потенциалов (то есть в динамическом режиме мы находили  $V_{\text{max}}, V_{\text{min}}$  как расстояние между точкой начала роста (+4 деления от 0) до максимума/минимума, поэтому эта контактная разность потенциалов не учитывалась. А в статическом режиме вольтметр выдавал суммарное напряжение, поэтому график сдвинулся вправо по  $V$ ).

- Оценим, при каких напряжениях появятся максимумы коэффициента прохождения при  $n = 2, 3, \dots$ . Из формулы 3

$$E_n + U_0 = \frac{\pi^2 \hbar^2}{2ml^2} n^2 = (E_1 + U_0) n^2$$

$$E_n(E_1, n) = E_1 n^2 + U_0(n^2 - 1) \Leftrightarrow V_{\text{max}_n} = V_{\text{max}_1} n^2 + V_0(n^2 - 1)$$

$$V_{\text{max}_2} = 4V_{\text{max}_1} + 3V_0 \approx 15B > V_{\text{пробоя}}$$



- Построим график зависимости вероятности рассеяния электронов (с точностью до константы) от энергии электронов из формулы 2:  $I_0$  - начальный катодный ток (Так как при  $D(V_{max}) = 1$ , то  $w(V_{max}) = 0$ , и из этого условия находится катодный ток)

$$Cw(V) = -\ln \frac{I_a(V)}{I_0} = -\ln I_a(V) + \ln I_0$$

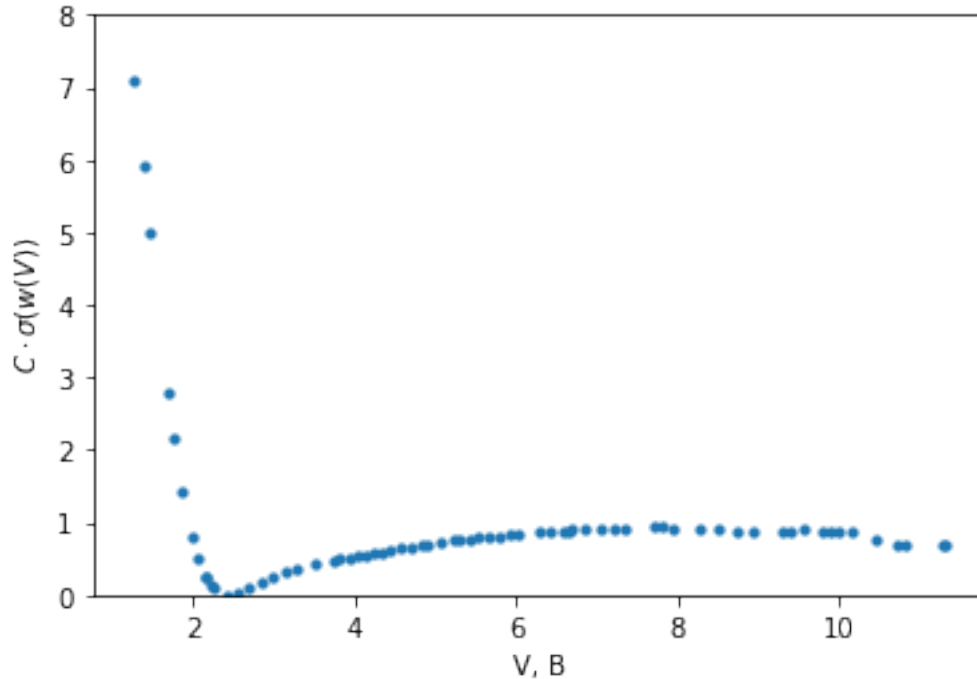


Рис. 6: Вероятность рассеяния электронов от их энергии (с точностью до констант)

### 3 Выводы

- В ходе работы в динамическом и статическом режимах работы осциллографа был экспериментально получен вид зависимости коэффициента прозрачности атомов инертного газа в зависимости от энергии налетающих электронов. Эта зависимость хорошо согласуется с теоретической в предположении, что атомы инертного газа представляют собой прямоугольные потенциальные ямы конечной глубины.
- Из напряжения пробоя тиратрона  $V_{\text{пробоя}} = (12 \pm 0.2)B$  с учетом теоретических значений потенциала ионизации для различных инертных газов можно сделать вывод о том, что газ в установке - ксенон.
- Это предположение подтверждается расчетом радиуса атома газа (в модели прямоугольной потенциальной ямы)  $R = (1.4 \pm 0.1)A$ , согласующегося с теоретическим значением для ксенона  $1.1A$ . Отклонение в большую сторону вызвано приближением атома моделью прямоугольной потенциальной ямы
- Результаты расчета глубины потенциальной ямы различаются в статическом и динамическом режимах. Это различие вызвано учетом лишних напряжений при измерении в статическом режиме. Наиболее точная оценка глубины ямы (в динамическом режиме):  $V_0 = (2.4 \pm 0.4)B$  - согласуется с теорией